

CL-F-H

$\text{HF}\cdot\text{ClF}_3$

BQ - 1096 - IV

1959.

Burke T.C.

Smith D.F.

(Pi)

"J. Mol. Spectroscop."

1959, 3, N 4, 381-87.

40522.1921

Ph, TE, Ch

 $\text{ClO}_3^{\cdot-} \text{HF}$ (Solv)

1974

40534

OZ.

2157

Bougon F., - Huy T. Bui, Cidet A., Charpin P., Rousson R. Adducts of chlorine oxide trifluoride with group V element pentafluorides. Structural study of the hexafluoro anions.

"Inorg. Chem.", 1974, 13, N 3, 690-695
(англ.)

092 095

БУЛГАРИЯ ВИНИТИ

60412.3633

9620(Д)

1976

Ch, Ph, TC, MGU



4206

Douglas D.J., Polanyi J.C., Sloan
J.J. Effect of changing reagent energy
on reaction dynamics. VI. Dependence
of reaction rate on vibrational excitati-
on in substantially endothermic reac-
tions, $XH(v') + Y \rightarrow X + HY$. "Chem.
Phys.", 1976, 13, N 1, 15-31 (англ.)

576 577

5.91 0599 винити

HFCIF

ХС-17106

1976

13 Б152. Структура и связь в HClF. Novick
Stewart E., Janda Kenneth C., Klempereger
William. HClF: Structure and bonding. «J. Chem.
Phys.», 1976, 65, № 12, 5115—5121 (англ.)

С помощью спектрометра электрического резонанса в молекулярных пучках (типа Раби) исследована структура комплекса HClF. Смесь газообразных HF (1%), ClF (10%) и аргона вводилась в спектрометр через охлаждаемое сверхзвуковое сопло. Измерена сверхтонкая структура перехода $I=2 \rightarrow 1$ HClF. Значения B_0 (МГц), D_I (кгц), eqQ_a^{Cl} (МГц) и $\mu_a(D)$ изотопозамещенных комплексов $HF^{35}ClF$, $HF^{37}ClF$ и $DF^{35}ClF$ равны, соотв., 2545,404, 7,27, —144,746, 2,313; 2543,188, —, —114,067, 2,314; 2443,586, —, —144,548, 2,295. Получены следующие значения структурных параметров: $F_{F...Cl} \approx 2,76$ Å, $R_{F-Cl} \approx 3,36$ Å, $\angle HF...Cl = 55^\circ$, $\angle F...Cl-F = 4-4,5^\circ$. Оценены частоты вал. и деф. кол. комплекса; отмечается сходство в структуре и характере связи в HClF и димере $(HF)_2$.

В. М. Ковба

Х. 1977. № 13

1976

HFClF

Ху. 17106

Д 7 Д517. Молекула HFClF: структура и природа связи. Novick Stewart E., Jand Kenneth C., Klemperer William. HFClF: Structure and bonding. «J. Chem. Phys.», 1976, 65, № 12, 5115—5121 (англ.)

22.01.1977.

ч. 11

Методом электрического резонанса в молекулярном пучке исследован вращательный спектр димера $\text{HF} \dots \text{ClF}$. Идентифицирована квадрупольная структура линий вращательных переходов с $J=1 \rightarrow 2$ и $2 \rightarrow 3$ в основном колебательном состоянии. Определены значения вращательной и центробежной постоянных, дипольного момента и постоянной квадрупольной связи для $\text{HF}^{35,37}\text{ClF}$ и DF^{35}ClF . Для HF^{35}ClF получено: $B_0 = 2545,404$ Гц, $D_J = 7,27$ кГц, $eqQ = -144,746$ Гц, $\mu_a = 2,313$ ед. Дебая. Показано, что группа FClF имеет линейную структуру с длиной ван-дер-ваальсовой связи $\text{F} \dots \text{ClF} = 2,76$ Å, а угол выхода протона от этой линии составляет 55° .

М. Р. Алиев

Ф. 1977. № 2

HFCIF

xcg - 17106

1976

Configurational replacement
C6g6.

86: 131444w HFCIF: Structure and bonding. Novick,
Stewart E.; Janda, Kenneth C.; Klemperer, William (Dep.
Chem., Harvard Univ., Cambridge, Mass.). *J. Chem. Phys.*
1976, 65(12), 5115-21 (Eng). The structure of the complex
formed between HF and ClF was detd. by mol. beam elec.
resonance spec.roscoopy. The mol. HFCIF is a slightly asym.
prolate top. The spectroscopic consts. detd. from $K = 0$ spectra
of isotopic species HF^{35}ClF , HF^{37}ClF , and DF^{35}ClF are given.
The at. arrangement in the complex is HFCIF with the 3 heavy
atoms collinear. The HClF angle is 55° . The FCl van der Waals
bond length is 2.76 Å. Comparison of the structure of HFCIF
with that of $(\text{HF})_2$ shows similarities. The bonding in both
complexes is similar.

C.A. 1977 86 N18

отмечен 5993

1978

HF-HCl

14 Б396. Водородная связь. Структура HF-HCl.
Janda Kenneth C., Steed Joseph M., Novick Stewart E., Klempregg William. Hydrogen bonding: the structure of HF-HCl. «J. Chem. Phys.», 1977, 67, № 11, 5162—5172 (англ.)

Методом спектроскопии электрического резонанса на молекулярных пучках исследована структура комплекса HF-HCl. Исследованы также спектры в радиочастотной и микроволновой областях для изотопно замещенных комплексов HF-HCl, HF-H³⁷Cl и HFD³⁵Cl. Сделан вывод, что комплекс существует за счет слабой H-связи, геометрическая характеристика которой качественно хорошо предсказывается донорно-акцепторной моделью. Определены спектроскопические константы для состояния K=0 имеют следующие значения HF-HCl³⁵ и HF-H³⁷Cl. В равновесном состоянии комплекса внутренний атом H лежит на прямой, соединяющей атомы F и Cl на расстоянии 2,12 Å от атома F. Связь H-F составляет угол 50° с прямой F-Cl.

Б. А. Лившиц

и.и.
водородн.
связь.

2, 1978, N14

HF-HCl

Univ. 5993

1977

88: 79430p Hydrogen bonding: the structure of hydrogen fluoride-hydrogen chloride. Janda, Kenneth C.; Steed, Joseph M.; Novick, Stewart E.; Klemperer, William (Dep. Chem., Harvard Univ., Cambridge, Mass.). *J. Chem. Phys.* 1977, 67(11), 5162-72 (Eng). The structure of the hydrogen bonded complex formed between HF and HCl was detd. by mol. beam elec. resonance spectroscopy. The mol. HF-HCl is a slightly asym. prolate top. The spectroscopic consts. detd. from $K = 0$ spectra of several isotopic species are given. The equil. at. arrangement is HF-HCl with the internal proton collinear with the 2 heavy atoms spaced 2.12 Å from the F atom. The exterior proton is off axis by 50°. The bonding of this complex is discussed with respect to other gas phase complexes and H halide crystal structures. It appears that a model which involves electron donation from the highest occupied MO (HOMO), of 1 submol. to the lowest unoccupied MO (LUMO) of the other gives a useful qual. description of complex formation between closed shell species.

CONFIDENTIAL

C.A. 1978: 88 n 12

HF + CeF Klemperer William. 1977

"Faraday Discuss., Chem. Soc.",
1977, №2, 179-184.
Discuss., 300-340.

бравац.
свернирок.

• III
(au. Ar + Hce)

HF + Hce Klempner William. 1977

"Faraday Discuss., Chem. Soc.",
1977, N62, 179 - 184.
Discuss. 300 - 340.

спасибо.
Секретарь.



(cav. Ar + \overline{Hce})

HF·Cl₂ La Grange Joelle. 1977
 et al

"Bull. Soc. Chim. Belg.",
1977, 86(4), 241-54.
resenewr.
номенк.
ноберст.

(csc. HF₃·Cl₂) III

70317,4204

40771

1977

Ph, Ch, TC, Ec-U

HF - ClF

X 9-17407

Umezawa, Hideaki, Morokuma, Keiji,
Yamabe Shinichi. Molecular orbital stu-
 dies of electron donor-acceptor comple-
 xes. 4. Energy decomposition analysis
 for halogen complexes: $\text{H}_3\text{N}-\text{F}_2$, $\text{H}_2\text{N}-\text{Cl}_2$,
 $\text{H}_3\text{N}-\text{ClF}$, $\text{CH}_3\text{H}_2\text{N}-\text{ClF}$, $\text{H}_2\text{CO}-\text{F}_2$, $\text{HF}-\text{C}_2\text{F}_2$, and
 F_2-F_2 . CM. NDCII.

"J. Amer. Chem. Soc.", 1977, 99, N 2,

330-343 (англ.) (см. $\text{H}_3\text{N}-\text{F}_2$; 11)

однородные стадии
Cl...H-F

1977

Weller.T.

Int.J.Quantum Chem.
1977, I2(5), 805-811.

раб. меж.
расчет

all. N... H-S-III

1978

FHCl-

(Kb. Mex.
paucim.)

Dixon M., Overill R.E.,

J. Mol. Struct. 1978,
48(1), 115-22.

●(cu. FHF; III)

HF - CEF

Lommel 9295)

1980

HCl - HF

Klemperer W.

однот.
секунд.
гашение

J. Mol. Struct., 1980, 59,
161-176.



(cres. Neg; III)

HF...ClF₃

Commun 7060

1048

26. dec.
1978

γ (F-cc)

90: 61600a A perturbation calculation of the molecular interactions in linear HF...ClF₃ and HF...HF systems. Hasanein, Ahmed A.; Makhyoun, Mohamed A. (Fac. Sci., Alexandria Univ., Alexandria, Egypt). *Collect. Czech. Chem. Commun.* 1978, 43(10), 2673-81 (Eng). The total energy (-333.631 kJ/mol), stabilization energy ($\Delta E = 14.18$ kJ/mol), dipole moment (2.06 D), and equil. F...Cl interat. distance ($R_{FCI} = 0.24$ nm) for the stable linear complex HF...ClF₃ were calcd. with the CNDO/2 method; $\Delta E = 13.39$ kJ/mol and $R_{FCI} = 0.24$ nm were obtained in calens. with a Rayleigh-Schroedinger many-body diagrammatic perturbation theory (V. Laurinc, et al., 1974; V. Kvasnicka, et al. 1974). The linear FH...ClF₃ complex

was unstable at all intermol. distances. For the H-bonded linear dimer HF...HF, $\Delta E = 12.97$ kJ/mol and equil. H...F distance 0.155 nm were calcd. with the perturbation theory; $\Delta E = 28.03$ kJ/mol was obtained with the CNDO/2 method. For both HF...ClF₃ and HF...HF, the largest energy contribution to ΔE was from energy of charge transfer from the electron donor to the electron acceptor. Comparisons are made with other existing calens. and the available exptl. data.

E. Erdos

CA. 1978 90, N8

HF-CF₃

HF-HF

расчет
моделир.
взаимод.

отмск 7060 1978
з Д147. Расчеты молекулярных взаимодействий в линейных системах HF...ClF₃ и HF...HF по теории возмущений. Hasanein Ahmed A., Makhjoum Mohamed A. A perturbation calculation of the molecular interactions in linear HF...ClF₃ and HF...HF systems. «Collect. Czech. Chem. Commun.», 1978, 43, № 10, 2673—2681 (англ.)

Методами ППДП/2 и теории возмущений в диграммной формулировке (ТВ) рассчитана энергия взаимодействия в системах HF...ClF₃ и HF...HF для широкого интервала расстояний между взаимодействующими молекулами. Для первой системы рассмотрены две возможные структуры: HF...ClF₃ и FH...ClF₃. Результаты расчетов обоими методами указывают на то, что комплекс со связью F—Cl устойчив, расстояние F—Cl равно 2,4 Å. Энергия стабилизации составляет 14,8 (ППДП) и 13,39 (ТВ) кдж/моль, что хорошо со-

(+)

ср. 1979, N3

гласуется с эксперим. значением 16,32 кдж/моль. Взаимодействие $\text{FH} \dots \text{ClF}_3$ является отталкивательным во всей области межатомных расстояний. Для системы $\text{HF} \dots \text{HF}$ расчеты по методу ТВ указывают на образование связзанного водородной связью димера с энергией стабилизации 12,97 кдж/моль и расстоянием $\text{H} \dots \text{F}$, равным 1,55 Å. Проведен анализ отдельных вкладов в энергию взаимодействия в изученных системах. Показано, что основной стабилизирующий вклад в полную энергию рассматриваемых систем связан с переносом электронной плотности от электронондонорной молекулы к акцептору.

О. В. Сизова

HF...ClF₃
HF... HF

отмск 7060
1978

з д 147. Расчеты молекулярных взаимодействий в линейных системах HF...ClF₃ и HF...HF по теории возмущений. Hasanein Ahmed A., Makhjoum Mohamed A. A perturbation calculation of the molecular interactions in linear HF...ClF₃ and HF...HF systems. «Collect. Czech. Chem. Commun.», 1978, 43, № 10, 2673—2681 (англ.)

Методами ППДП/2 и теории возмущений в диаграммной формулировке (TB) рассчитана энергия взаимодействия в системах HF...ClF₃ и HF...HF для широкого интервала расстояний между взаимодействующими молекулами. Для первой системы рассмотрены две возможные структуры: HF...ClF₃ и FH...ClF₃. Результаты расчетов обоими методами указывают на то, что комплекс со связью F—Cl устойчив, расстояние F—Cl равно 2,4 Å. Энергия стабилизации составляет 14,8 (ППДП) и 13,39 (TB) кдж/моль, что хорошо согласуется с эксперим. значением 16,32 кдж/моль. Взаимодействие FH...ClF₃ является отталкивательным во-

расчет
энергии
взаимодействия

(+1)

Ф. 1049, N3

всей области межатомных расстояний. Для системы HF...HF расчеты по методу ТВ указывают на образование связанного водородной связью димера с энергией стабилизации 12,97 кдж/моль и расстоянием H...F, равным 1,55 Å. Проведен анализ отдельных вкладов в энергию взаимодействия в изученных системах. Показано, что основной стабилизирующий вклад в полную энергию рассматриваемых систем связан с переносом электронной плотности от электронондонорной молекулы к акцептору.

О. В. Сизова

$(\text{HCl...H-FH})^+$ Lommel et al 10098 1980

Pesmeules P.Y.; et al.

Monomer
Complexes,
H. off. agab.
Koninklijke

J. Chem. Phys. 1980
72 (9), 4731-48

$(HF \dots HCl)_2$ Omnicell 11084 1980

$(HF \dots HF)_2$

$(HCl \dots HCl)_2$

94: 145671v Structure of the hydrogen halide ($HX-HX'$) dimers. Remarks about interaction potentials. Girardet, Claude; Schriver, Andre; Maillard, Daniel (Lab. Phys. Mol., Fac. Sci. Tech., 25030 Besancon, Fr.). *Mol. Phys.* 1980, 41(4), 779-95 (Eng). The geometry, low-frequency coupled internal motions, and principal moments of inertia of $MX-MX'$ dimers ($M = H$ or D ; $X = F$ or Cl) are calcd. by using an anal. form of the interaction potential. The method accurately describes the structural properties and low temp. dynamical properties of the dimers.

not referenced

by molecular embars,

recessed, Di

(42)

Q.4-1981.Q4N18



(all: HF-HF; D)

HF-HCl

Communia 10110/

1980

Kb, delx,
pacet ✓ 93: 174175w Hydrogen fluoride-hydrogen chloride: stationary points on the SCF energy hypersurface and thermodynamics of formation. Hobza, P.; Szczesniak, M. M.; Latajka, Z. (Inst. Hyg. Epidemiol., 10042 Prague, 10 Czech.). *Chem. Phys. Lett.* 1980, 74(2), 248-51 (Eng). Three stationary points on the SCF 4-31G energy hypersurface of HF-HCl were examined. Two of them are real min. corresponding to HF...HCl and HCl...HF quasilinear structures. The third one, a cyclic structure, is a saddle point. The role of the basis-set superposition error and of dispersion energy is discussed for all stationary points. The process leading to the formation of the stable isomer HF...HCl is entropy controlled.

C. &. 1980, 93 n 18.

HF...HCl

бтмисс 10.110

1980

1 Д123. HF—HCl: стационарные точки ССП энегетической гиперповерхности и термодинамика образования. HF—HCl: stationary points on the SCF energy hypersurface and thermodynamics of formation. Nowa P., Szczesniak M. M., Latajka Z. «Chem. Phys. Lett.», 1980, 74, № 2, 248—251 (англ.)

правсоб.
гел.состр.п

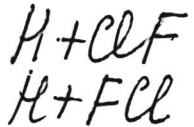
Неэмпирическим методом ССП МО ЛКАО в базисе гауссовых ф-ций OCT-4-31ГФ исследована поверхность потенц. энергии плоской системы HF—HCl. Ряд стационарных точек рассчитан с включением в базис поляризационных ф-ций. Учитывалась также энергия дисперсионного взаимодействия (по схеме Лондона). Равновесная геометрия HF...HCl (I) хорошо согласуется с эксперим. данными. Кроме I найдена вторая стабильная структура HCl...HF (II). Циклич. структура менее выгодна, чем II, на 0,73 кдж/моль и является седловой точкой. Методом FG матриц Вильсона рассчитаны колебательные частоты I, II и изолированных молекул, найденные несколько завышенными

Ф. 1981/1

сравнительно с эксперим. данными. Подробно обсуждено влияние базиса и учета энергии дисперсионного взаимодействия на результаты расчетов. Сделан вывод, что при учете дисперсионной энергии структура II не должна существовать, т. к. ее энергия в низшем колебательном состоянии больше энергии активированного комплекса (циклич. структуры) в низшем колебательном состоянии. В модели жесткого ротора и гармонич. осциллятора для идеального газа рассчитаны термодинамич. характеристики реакции комплексообразования. Сделан вывод, что образование стабильного изомера I является энтропийно контролируемым процессом.

В. Л. Лебедев

0.
Vol



Отмск 12940 1981

5 Б1083. Геометрия и энергетика переходных состояний для реакций $H + ClF$, $H + FCl$, $H + F_2$ и $H + Cl_2$. Eades Robert A., Dunning Jr. Thom H., Dixon David, A. Location and energetics of transition states for the reactions $H + ClF$, $H + FCl$, $H + F_2$, and $H + Cl_2$. «J. Chem. Phys.», 1981, 75, № 4, 2008—2010 (англ.)

функции
переход. энерг.

Обобщенные методы валентных связей и конфигурац. взаимодействия с расширенными базисными наборами, учетом поляризации и условий строгой ортогональности используются для неэмпирич. расчетов поведения Пв потенциальной энергии систем $H + ClF$, $H + FCl$, $H + F_2$ и $H + Cl_2$. Полученные значения экзоэргики указанных рец. не более чем на 10—20% отличаются от эксперим. значений. Для коллинеарной конфигурации рассматриваемых систем в состоянии $^2\Sigma^+$ определены высоты потенциальных барьеров и соответствующие межъядерные расстояния. При соотв.-щих значениях межъядерных расстояний исследовалась зависимость



X. 1982, 19, NS

18

+2

потенциальных ф-ций состояния $^2A'$ от деформационного угла в диапазоне от 180 до 90°. Показано, что для систем $H+ClF$ и $H+Cl_2$ потенциальная функция имеет минимум при углах 151 и 163° соотв. Для двух остальных систем седловые точки Пв потенциальной энергии соответствуют коллинеарной конфигурации. С учетом нулевых поправок рассчитанные высоты потенциальных барьеров удовлетворительно согласуются с эксперим. данными по энергиям активации. Предлагается, что образование HF при атаке H на Cl в молекуле ClF связано не с миграцией H от Cl к F в области перевальной точки, а с закручиванием ClF при неколлинеарной атаке, когда атом F отрывается H у образовавшейся, но находящейся в течение жизни промежуточного комплекса в непосредственной близости, молекулы HCl.

А. И. Маергойз

казы
т р

HF-CIF

0M. 12371

1981

3 Б139. Система HF—ClF. Минимумы на энегетических гиперповерхностях в базисах 4—31 ГФ и 4—31 ГФ* и термодинамика образования. Hobza P., Szczęśniak M. M., Latajka Z. HF—ClF; minima on the 4-31G and 4—31 G* energy hypersurfaces and thermodynamics of formation. «Chem. Phys. Lett.», 1981, 82, № 3, 469—472 (англ.)

Методом ССП в базисе 4—31 ГФ исследована энергия взаимодействия в системе HF+ClF в зависимости от взаимной ориентации молекул HF и ClF. Найдено два истинных минимума энергии, отвечающих конфигурациям, в к-рых имеются почти линейные фрагменты из трех ядер, а оси молекул HF и ClF образуют угол около 120° . При этом одна конфигурация отвечает системе с H-связью (FH—FCl), а вторая — системе со связью F—Cl (HF—ClF). С учетом суперпозиционной поправки исследована энергия образования этих систем в базисе, расширенном поляризац. ф-циями, а также вве-

Di, ll·n·,

m·gp.

X. 1982, 19, N3?

дены поправки на дисперсионное взаимодействие. Полученные оценки для частот колебаний позволили рассчитать термодинамич. ф-ции комплекса и оценить возможность обнаружить обе формы. При низких т-рах обе формы согласно расчету, почти равновероятны, при высоких — обе формы маловероятны. Учет поляризац. функций изменяет этот результат лишь при низких температурах.

В. И. Пупышев



ClF...HF

Lommuck 12371 1/981

96: 91942e Hydrogen fluoride-chlorine fluoride: minima on the 4-31G and 4-31G* energy hypersurfaces and thermodynamics of formation. Hobza, P.; Szczesniak, M. M.; Latajka, Z. (Inst. Hyg. Epidemiol., 100 42 Prague, Czech.). *Chem. Phys. Lett.* 1981, 82(3), 469-72 (Eng). Two min. were found on the 4-31G and 4-31G* energy hypersurfaces of HF-ClF. Whereas thermodn. characteristics (at 100 K) based on 4-31G values favor the H-bonded form ClF...HF over HF...ClF, those based on 4-31G* values predict equal probability of formation of both forms. At higher temps. there is only a small probability of detecting any form of the complex.

nomelis.
noblexx.
meopem.
pacrem

OM. 12147

C.A. 1982, 96, N/2

HF-HCl

Lommel 12114 | 1981.

(Bau der Basale.
cucurbita)

Słanina Z.

меркатор.

датчик

(базисные
сигналы)

от сигнала
сигнала)

Chem. Phys. Lett.;
1981, 82 (1), 33-35.

HF-ClF

от. 12857

1981

ЗБ140. Изомерия в системе HF—ClF. Замечания относительно термодинамики системы. Slanina Zdeněk. HF—ClF isomerism: the consequences regarding system thermodynamics. «Chem. Phys. Lett.», 1981, 83, № 2, 418—422 (англ.)

Рассмотрены различные подходы к расчету термодинамич. характеристик системы HF—ClF как примера молек. комплекса, имеющего две слабо отличающиеся по энергии и разделенные пологим энергетич. барьером геометрич. конфигурации ядер. Отмечено, что если при расчете пользоваться приближением гармонич. осциллятор — жесткий ротор для каждой из конфигураций в отдельности, то получаемые термодинамич. функции, особенно энтропия, заметно отличаются от тех, к-рые получаются при рассмотрении обеих конфигураций одновременно, т. е. при рассмотрении комплекса как единого целостного объекта с двумя положениями равновесия. Обсуждены вопросы расчета термодинамич. ха-

термод.
φ-ши, изомер
структур

Х. 1982, 19, N3.

рактеристик нежестких молекул с несколькими равновесными конфигурациями. Оценки выполнены на основе результатов ранее проведенных неэмпирич. расчетов указанной системы в базисах АО разного качества (см. пред. реферат). В. И. Пупышев

ри
ком

HF-Cl₂

1982

2 Д248. Строение и постоянные сверхтонкой структуры для HF-Cl₂. The structure and hyperfine constants of HF-Cl₂. Baiocchi F. A., Dixon T. A., Klemperer W. «J. Chem. Phys.», 1982, 77, № 4, 1632—1638 (англ.)

*и.п., холер
Структура*

Исследована система вращательных ($J=1\rightarrow 2$ и $2\rightarrow 3$) переходов, индуцированных микроволн. излучением в комплексах HF-Cl₂, образованных при истечении смеси HF : ³⁵Cl₂ или ³⁵Cl|³⁷Cl : Ar = 1,2 : 2,5 : 100 из области давл. 2,5 атм в вакуум. Переходы регистрировались на основании изменений ионного сигнала при масс-спектрометрич. анализе продуктов молекулярного пучка. На фоне изменений сигнала, отвечающих основным переходам (ΔJ), наблюдалась тонкая структура (около десяти компонент для каждого из ΔJ), связанная с квадрупольным взаимодействием (постоянная eQq) атомов хлора. Получены спектроскопич. константы (для комп-

9.1983, 18, № 2

лексов $\text{HF}-\underline{\text{Cl}_2}$ и $\text{HF}-\text{Cl}^{37}\text{Cl}$ соответственно): B_0 (МГц) = 1600,949 и 1566,845; D_3 (кГц) = 2,93 и 2,75; eQq_a (МГц) = -111,53 и -111,568 (для внутреннего атома хлора) и eQq_a (МГц) = -108,16 и -86,270 (для внешнего атома хлора); дипольный момент $\mu_a(\text{HF}-\text{Cl}) = 1,381$ ед. Дебая, где индекс a означает направление оси с наименьшим моментом инерции в системе главных осей комплекса. Данные по значениям eQq свидетельствуют о несимметричном распределении заряда в части комплекса $[-\text{Cl}-\text{Cl}]$; более подробная интерпретация этого факта затруднена из-за отсутствия значения eQq для свободной молекулы хлора. Указанные результаты соответствуют строению комплекса, в котором расположение трех тяжелых атомов является линейным (длина связи $[\text{F}-\text{Cl}] = 2,96 \text{ \AA}$), а угол $\angle \text{H}-\text{F}-\text{Cl} = 125^\circ$.

Вомпе



HXY

1982

X, Y = F, Cl, Br, I

ROMERS.

NOLEPXTI.

97: 133849h Semi-empirical potential energy surfaces for the linear HXY (X, Y = F, Cl, Br, I) systems. Last, I. (Soreq Nucl. Res. Cent., Yavne, Israel). *Chem. Phys.* 1982, 69(1-2), 193-203 (Eng). The modified DIM method including the three-center term was applied to calc. the linear potential energy surfaces of fourteen H + XY and X + HY reactions where X and Y are halogen atoms. All calcns. were performed using a common set of three adjustable parameters. The adjustable parameters were detd. by fitting the potential barrier heights of the HFF, HClCl and FHF systems.

(75)

c.a. 1982, 97, n16

HFBr, HF^I
HClBr, HCl^I
HB₂^I

1982

HFCl

HClF

расчет М.Л. Но

(44)

9.1982, 18;
N/2

12 Д70. Полуэмпирические поверхности потенциальной энергии линейных систем HXY (X, Y=F, Cl, Br, J). Semi-empirical potential energy surfaces for the linear HXY (X, Y=F, Cl, Br, J) systems. Last I. «Chem. Phys.», 1982, 69, № 1—2, 193—203 (англ.)

Полуэмпирический вариант метода двухатомных фрагментов в молекулах применен к расчету поверхностей потенц. энергии (ППЭ) основных электронных состояний линейных систем HXY и XHY (X, Y=F, Cl, Br, J). Приближенный гамильтониан каждой из рассматриваемых систем содержал 7 подгоночных параметров. Часть параметров была определена с использованием данных о двухатомных потенциалах; значения параметров добавочного трехцентрового потенциала для X, Y=F, Cl были найдены путем подгонки расчетных активационных барьеров реакций $H+F_2 \rightarrow HF+F$, $H+Cl_2 \rightarrow HCl+Cl$ и $F+HF \rightarrow F' + HF$ к экспериментальным. Эти значения были без изменений перенесены в гамильтонианы систем с X, Y=Br, J. Рассчитаны координаты седловых точек ППЭ и высоты потенц. барьеров. Отличие полученных значений высот барьеров от наиболее надежных эксперим. данных ≤ 1 ккал/моль.

А. В. Зайцевский

MF-HCl Oct. 18668 1983

Buckingham S. D.,
Fowler P. W.,
Cupp-a J. Chem. Phys., 1983,
79, N 12, 6426 - 29.

HF., HCl

1983

Huber M., Hobza P.,
et al.

журн., J. Mol. Struct., 1983,
с. 103, Suppl. Theoschem.
12, 245-254.

(cис. H_2O ., HF; II)

HF...ClF
HF...ClF₃

0т. 22 267 1985

№ 24 Б1114. Межмолекулярные потенциалы для смешанных димеров фтористого водорода и фтористого хлора. Intermolecular potentials for mixed dimers between hydrogen fluoride and chlorine fluorides. Has been in A. A. «J. Mol. Struct.», 1985, 122, № 3—4, Suppl.: «Theochim», 23, № 2, 3—4, 249—257 (англ.)

Методом ССП рассчитаны потенциальные Пв межмолек. взаимодействия смешанных димеров фтористого водорода и хлоридов фтора HF...ClF и HF...ClF₃. Использованы базисы сгруппированных гауссовых ф-ций OCT-4Г и 4-31Г. Геометрич. параметры мономеров имели фиксированные эксперим. значения. Дипольный момент мономеров занижен в базисе OCT-4Г и завышен в базисе 4-31Г по сравнению с эксперим. данными. Геометрия комплекса ClF...HF оптимизирована при варьировании 2 параметров: угла между осями молекул и расстояния F...F (атом F молекулы ClF лежит на оси молекулы HF со стороны атома H). Минимуму энергии ($-1,2$ и $-19,58$ кДж/моль) соответствует рас-

чен.
Структ, А.

Х. 1985, 19, № 24

стояние F...F 3,02 и 2,79 Å и угол 120,5 и 142° для базисов ОСТ-4Г и 4-31 Г соотв. Для комплекса $F_3Cl\ldots$...FH также оптимизированы два геометрич. параметра: расстояние Cl...F и угол между осью C_{2v} молекулы ClF_3 и осью HF (атом F молекулы HF лежит на оси C_{2v} молекулы ClF_3 со стороны атома Cl). Минимуму энергии ($-1,288 \text{ эВ}$ — $-21,950 \text{ кДж/моль}$) соответствует расстояние Cl...F 3,25 и 2,7 Å и угол 180 и 143° для базисов ОСТ-4Г и 4-31Г соотв.

А. А. Сафонов

фаль
на

ClF...HF

от 22.267 1985

I Д87. Межмолекулярные потенциалы в смешанных димерах фторида водорода и фторидов хлора. Intermolecular potentials for mixed dimers between hydrogen fluoride and chlorine fluorides. Hasanein Ahmed A. «J. Mol. Struct.», 1985, 122, № 3—4, Suppl., «Theochem», 23, № 3—4, 249—257 (англ.)

Поверхности потенц. энергии основных электронных состояний димеров $\text{ClF} \dots \text{HF}$ (I) и $\text{ClF}_3 \dots \text{HF}$ (II) исследованы неэмпирич. методом ССП с использованием гауссовских базисов ОСТ—4 ГФ и 4—31 ГФ. Согласно результатам расчета в базисе 4—31 ГФ минимум потенц. энергии I достигается при значении угла Cl—F—H 142° и расстоянии F—F 2,79 Å (предполагалось, что угол F—H—F равен 180°). Оценка энергии диссоциации комплекса составила 19,58 кДж/моль. Показана нестабильность структур типа F—Cl...H—F. Расчетная энергия диссоциации II равна 21,95 кДж/моль.

Использование
структурной
химии,
строктура
(1) ~~(2)~~
ф. 1986, 18, N 1

(базис 4—31 ГФ), что близко к эксперим. величине (16,338 кДж/моль). Отмечена общая тенденция к переоценке энергии взаимодействия мономеров при расчетах в базисах 4-31 ГФ и к сильной ее недооценке в базисах OCT-4 ГФ. Продемонстрирована связь этих эффектов с различным характером искажений картины электронного распределения в мономерах, вносимых ограничениями этих базисов. Библ. 26.

А. В. Зайцевский

Л(ан)

$\text{Cl}_2\text{-HF}$

(dm. 21789)

1985

Энергия
взаимо-
действия,
ab initio
расчём.

Rendell A.P., Bacskay
G.B., et al.,
Chem. Phys. Lett., 1985,
117, N 5, 400-408.

ClF-HF (OM. 21789) 1985

Энергия
взаимодействия
атомов H и F,
ab initio
расчет.

Rendell A.P., Baegkay
F.B., et al.,
Chem. Phys. Lett., 1985,
H², N.S., 400 - 408.

H₃FCl

[OM 23267]

1985

H₃AB (synonym)

2AB, 2AH,

LHAB,

2AB,

neop.

pacrem

Schmidt M.W.,
Gordon M.S.

Can. J. Chem., 1985,

63, N⁷, 1609 - 1615.

MFCL- LM. 23412) 1984

Sannigrani A.B., Bhat -
tacharjee S.,

neopen.
paarem

Indian J. Chem., 1984,
23A, N9, 707-711.

ClF·HF

1986

HF·ClF

Szarincz Źderek.

H_T-H, S°; Theor. Chem. Acta

69,催眠. 1986, 69(2), 135-45.
Spanner.

(c.c. (H₂)₂; ①)

ClF·HCl

OM. 30582
OM 30862

1988

109: 179404d Infrared spectra of chlorine fluoride (ClF), molecular chlorine, and atomic chlorine complexes with hydrogen chloride in solid argon. Andrews, Lester; Hunt, Rodney D. (Chem. Dep., Univ. Virginia, Charlottesville, VA 22901 USA). *J. Chem. Phys.* 1988, 89(6), 3502-4 (Eng). Ar mixts. of ClF, Cl₂, and Cl atoms were codeposited with Ar/HCl at 5 and 12 K. IR spectra in the HCl stretching region give evidence for the FCl--HCl, Cl₂--HCl, and Cl--HCl H-bonded complexes. The mol. complexes are more stable in the H-bonded than antihydrogen-bonded forms as no evidence for the latter were obsd. The Cl—HCl radical H-bonded complex considerably different from the centrosym. (Cl-H-Cl)⁻ anion.

(UK)

Cl₂·HCl, Cl·HCl

(72)



C.A. 1988, 109, N 20

HCP-HF

1988

Carroll Marshall

T., Chang Cheng, et al.

meop.

pacem

cerpex-

mpos

Mol. Phys. 1988,

63 (3), 387 - 405.

(Cer. N₂-HF; 11)

HCl-HF (Am 31323) 1988

Carroll M.T., Bader R.F.W.,
Mol. Phys. 1988, 65, N3, 695-722.

An analysis of the hydrogen bond in BASE-HF complexes using the theory of atoms in molecules.

HF-HCl

1988

Zatajka Zdzislaw,
Scheiner Steve.

literatur.,
literatur.,
neop.
pacem

Chem. Phys. 1988,

122 (3), 413-30.

(ceci. $(HF)_2$; III)

1989

HF·ClF

ClF·HF

М.Н.

Д11 Д62. Повторное рассмотрение и пересмотр результатов для изомерной системы HF—ClF. HF—ClF isomeric system revisited and revised / Slanina Zdeněk // Chem. Phys. Lett.— 1989.— 160, № 2.— С. 219—222.— Англ.

Неэмпирическим методом ССП МО ЛКАО в базисах 4-31ГФ, 4-31ГФ*, трехэкспонентном с включением поляризационных ф-ций с учетом корреляции электронов методом связанного парного функционала рассчитаны стандартные энталпии и энтропии образования для изомерной системы HF·ClF и ClF·HF. Использовано приближение жесткого роторатора и гармонич. осциллятора. В базисе 4-31ГФ наиболее стабилен изомер ClF·HF, а в остальных базисах — HF·ClF, однако при повышении т-ры (до 74,6 и 249 К в базисах 4-31 ГФ* и трехэкспонентном соответственно) происходит обращение стабильности изомеров.

В. Л. Лебедев

сф. 1990, № 11

Cl... HF

1991

Botashwina P., Sebald P.,

NATO ASI Ser., Ser. C.
1991, 347, 281-3

Pi u no -
mesilquarsh.
Ø - ill;
pacem

(Eds. HG-; III)

HF-ClF

1991

- 23 Б1165. Молекулярный комплекс HF-ClF в газовой фазе. Два предельных подхода к его термодинамике. HF-ClF(g) molecular complex: Two limiting approaches to its thermodynamics / Slanina Zdeněk // Thermochim. Acta.— 1991.— 182, № 1.— С. 67—75.— Англ.

В рамках подхода жесткий ротатор — гармонич. осциллятор в интервале т-р от 20 до 1000 К проанализирована т-рия зависимость парциальной и полной энталпии, энтропии и теплоемкости при постоянном давл. для комплексов HF·ClF (I) и ClF·HF (II). Кроме того, эти же х-ки оценены в приближении свободного внутр. вращения. В этом случае использована развитая автором ранее техника прямого суммирования. Показано, что при определенных условиях оба подхода могут приводить к существенным различиям в рассчитываемых термодинамич. параметрах. Особое внимание уделено взаимопереводам изомерных структур при различных т-рах. Показано, что порядок относит. стабильности обоих изомеров при изменении т-ры может меняться. Библ. 47.

И. Н. Сенченя

1991, № 23

1993

HF · ClF

119: 279322a Ab initio molecular orbital study of the potential energy surface for the hydrogen fluoride • • • chlorine fluoride (HF • • • ClF) binary complex. De Almeida, Wagner B.; Barker, David A.; Hinchliffe, Alan. (Dep. Quim., ICEx, MG, 30.161 Horizonte, Brazil). *J. Chem. Phys.* 1993, 99(8), 5917-23 (Eng). The potential energy surface for the complex between the HF and ClF monomer units has been comprehensively investigated at the Hartree-Fock self-consistent-field (SCF) level with the 4-31G basis set. Pointwise calcn. of a tridimensional surface revealed that several stationary points, characterized as min. and max., are present on the min. energy path. These structures were further fully optimized at the correlated Moller-Plesset second-order perturbation theory (MP2) level of theory employing the 6-31 + G* basis set. Zero-point energy corrections were also evaluated, which, together with a treatment of electron correlation, are found to be needed for the correct dtn. of the global min. energy structure.

not exp. recd.
no ref.
Hinchliffe,
ICEx, MG
119, N 26

C.A. 1993, 119, N 26

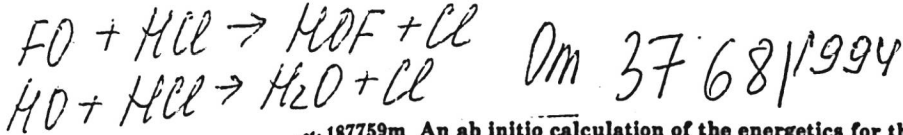
HF...Cl₂

1993

119: 211212j Hydrogen fluoride • • • chlorine (HF • • • Cl₂).
Bending dynamics of an antihydrogen-bonded van der Waals dimer. Stockman, Paul A.; Blake, Geoffrey A. (Division of Chemistry and Chemical Engineering, California Institute of Technology, 170-25, Pasadena, CA 91125 USA). *Chem. Phys. Lett.* 1993, 212(3-4), 298-306 (Eng). The H-bending fundamental of the HF...Cl₂ complex has been obtd. at high resoln. near 33 cm⁻¹, yielding a vibrational energy sepn. and rotational and nuclear quadrupole coupling consta. From these, ests. of the van der Waals stretching and Σ -bending frequencies are made, and a quartic-quadratic potential is fit to the data, with a barrier of 48 cm⁻¹ to the linear H-F...Cl-Cl conformation. HF...Cl₂ is decidedly quasilinear, and the consequences of the flat θ_{HF} bending coordinate are discussed as they relate to the interpretation of recent photo-initiated bimol. reactions
 $HX \cdots Y_2 \rightarrow X + Y_2 \rightarrow XY + Y$.

(P. J. Henn)

C.A. 1993, 119, N 20



On 37681/994

121: 187759m An ab initio calculation of the energetics for the
 $\text{FO} + \text{HCl} \rightarrow \text{HOF} + \text{Cl}$ reaction. Francisco, Joseph S. (Jet
Propulsion Lab., California Inst. Technol., Pasadena, CA 91109
USA). *Mol. Phys.* 1994, 82(4), 831-3 (Eng). By using ab-initio
methods, reaction energetics were calcd. for the reactions $\text{HO} + \text{HCl}$
 $\rightarrow \text{H}_2\text{O} + \text{Cl}$ and $\text{FO} + \text{HCl} \rightarrow \text{HOF} + \text{Cl}$. At the QCISD(T)/(6-311
+ + G(3df, 3pd)) level of theory, the heats of reaction were estd. as
-61.5 and +12.1 kJ mol⁻¹ resp. The activation barrier for the $\text{HO} +$
 HCl reaction at 298 K was estd. as 4.6 kJ mol⁻¹. This result
overestimates the exptl. results by 2.5 kJ mol⁻¹. The $\text{FO} + \text{HCl}$
reaction was predicted to have an activation barrier of 54.8 ± 8 kJ
mol⁻¹.

D. R. Karkrabagchi,
ab initio panel

On 37681

(H) ~~XI~~



c.A.1994, 121, N 16

H_2O-ClF

1996

Dahl T., Roegger I.

2, prepared
class, meop. 1996, 118(17), 4152-8,
pacrict

(corr. H_2O-F_2 ; II)

H₂O · ClF

1997

127: 9332h Theoretical studies on the H₂O-ClF complex. Chandra, A. K.; Nguyen, Minh Tho (Laboratory of Quantum Chemistry, Department of Chemistry, University of Leuven, Celestijnenlaan 200F, B-3001 Louvain, Belg.). *Chem. Phys. Lett.* 1997, 268(5,6), 321-324 (Eng), Elsevier. Geometry optimizations at the MP2 level with 6-31++G(d,p) basis functions and single-point calcns. at the QCISD(T) level with 6-31++G(3df,2p) basis functions have been carried out to det. the structures and binding energies of the complexes of the mols. H₂O and ClF. The binding energy of the most stable complex is found to be 4.05 kcal/mol at the QCISD(T) level of theory.

Meop. naakt
Hermel
Chapt II
C. A. 1997

C. A. 1997, 127, N1

FClO₃

1997

(P₅)

127: 312560s Strong and isotope selective effects of the $\Delta K = \pm 3$ interaction in the ground state and in the v_5 infrared bands of four isotopomers of FCIO_3 . Meguellati, F.; Graner, G.; Burczyk, K.; Burger, H.; Pawelke, G.; Pracna, P. (Laboratoire de Physique Moléculaire et Applications, Université Paris-Sud, F-91405 Orsay, Fr.). *J. Mol. Spectrosc.* 1997, 184(2), 371-384 (Eng), Academic. The IR spectra of monoisotopic samples of the $^{35/37}\text{Cl}$ and $^{16/18}\text{O}$ isotopomers of FCIO_3 were recorded in the region of the v_3 fundamental with a resoln. of $-3 \times 10^{-3} \text{ cm}^{-1}$. Several thousand lines were assigned in each species and ground state mol. parameters were detd. or improved through the use of ground state combination differences. An agreement between the ground state parameters of the four isotopomers requires a $\Delta K = \pm 3$ interaction with an off-diagonal ϵ term introduced. The main perturbation in the $v_3 = 1$ state is due to a $\Delta K = \pm 3$ interaction which has very strong effects because levels differing by 3 units in K can be unusually close. For $\text{F}^{35}\text{Cl}^{18}\text{O}_3$ and $\text{F}^{37}\text{Cl}^{18}\text{O}_3$, the effects are largest for $kl = -23$ and -26 and give rise to perturbation-allowed transitions. For $\text{F}^{35}\text{Cl}^{16}\text{O}_3$ and $\text{F}^{37}\text{Cl}^{16}\text{O}_3$, the $kl = -5$ and -8 levels are closest and no perturbation-allowed transition could be assigned. Two different interaction terms, called ϵ and d , can be defined for such interactions in a degenerate vibrational state. For the 1st time, they were both detd. significantly and simultaneously for all four isotopomers. They adopt values almost independent of $^{35}\text{Cl}/^{37}\text{Cl}$ substitution and consistent in the $^{16}\text{O}/^{18}\text{O}$ substitution, in spite of very different resonance effects. The axial rotational consts. A_0 also were detd. with high accuracy.

C.A. 1997, 127

N22

FCCR⁺ (M. 39733) 1998

M.N. Fulvio Cacace, Giulia
de Petris^{*} et al.,

J. Phys. Chem. 1998,
A102, 10560-● 10567

2000

F: Cl-(HF)n

P: 3

135:24921 **Ab initio calculations of Cl-(HF)n, n ≤ 6 clusters.**

Firsov, D. A.; Granovskii, A. A.; Nemukhin, A. V. Mosk. Gos. Univ.,
Moscow, Russia. Izv. Akad. Nauk, Ser. Fiz. (2000), 64(8), 1499-1501.
in Russian.

The authors studied the equil. structures of isomers of Cl-(HF)n clusters using MP2/6-311+G** method (GAMESS). Data are presented on geometries, charge densities, and HOMO-LUMO gaps.

H2O - ClF

2001

135: 217750k Pre-reactive complexes in mixtures of water vapor with halogens: characterization of H₂O-ClF and H₂O-F₂ by a combination of rotational spectroscopy and Ab initio calculations.
Cooke, Stephen A.: Cotti, Gina; Evans, Christopher M.; Holloway, John H.; Kisiel, Zbigniew; Legon, Anthony C.; Thumwood, Jennifer M. A. (School of Chemistry, University of Exeter, Exeter, UK EX4 4QD). *Chem. -- Eur. J.* 2001, 7(11), 2295-2305 (Eng), Wiley-VCH Verlag GmbH. Complexes H₂O-ClF and H₂O-F₂ were detected by their ground-state rotational spectra in mixts. of H₂O vapor with Cl monofluoride and difluorine, resp. A fast-mixing nozzle was used in conjunction with a pulsed-jet, Fourier-transform microwave spectrometer to preclude the vigorous chem. reaction that these dihalogen species undergo with H₂O. The ground-state spectra of seven isotopomers (H₂¹⁶O-³⁵ClF, H₂¹⁶O-³⁷ClF, H₂¹⁸O-³⁵ClF, D₂¹⁶O-³⁵ClF, D₂¹⁶O-³⁷ClF, HDO-³⁵ClF and HDO-³⁷ClF) of the ClF complex and five isotopomers (H₂O-F₂, H₂¹⁸O-F₂,

Frank
Clegg,

M.N.

(7) ~~H2O -~~ F₂

C-A. 2001, 135, 175

$\text{D}_2\text{O}-\text{F}_2$, $\text{D}_2^{18}\text{O}-\text{F}_2$ and $\text{HDO}-\text{F}_2$) of the F_2 complex were analyzed to yield rotational consts., quartic centrifugal distortion consts. and nuclear hyperfine coupling consts. These spectroscopic consts. were interpreted with the aid of simple models of the complexes to give effective geometries and intermol. stretching force consts. Isotopic substitution showed that in each complex the H_2O mol. acts as the electron donor and either ClF or F_2 acts as the electron acceptor, with nuclei in the order $\text{H}_2\text{O}-\text{ClF}$ or $\text{H}_2\text{O}-\text{F}_2$. For $\text{H}_2\text{O}-\text{ClF}$, the angle φ between the bisector of the HOH angle and the O-Cl internuclear line has the value $58.9(16)^\circ$, while the distance $r(\text{O-Cl}) = 2.6081(23)$ Å. The corresponding quantities for $\text{H}_2\text{O}-\text{F}_2$ are $\varphi = 48.5(21)^\circ$ and $r(\text{O-F}_i) = 2.7480(27)$ Å, where F_i indicates the inner F atom. The potential energy $V(\varphi)$ as a function of the angle φ was obtained from ab initio calcns. at the aug-cc-pVDZ/MP2 level of theory for each complex by carrying out geometry optimizations at fixed values of φ in the range $\pm 80^\circ$. The global min. corresponded to a complex of C_s symmetry with a pyramidal configuration at O in each. The function $V(\varphi)$ was of the double-min. type in each case with equil. values $\varphi_e = \pm 55.8^\circ$ and $\pm 40.5^\circ$ for $\text{H}_2\text{O}-\text{ClF}$ and $\text{H}_2\text{O}-\text{F}_2$, resp. The barrier at the planar C_{2v} conformation was $V_0 = 174 \text{ cm}^{-1}$ for $\text{H}_2\text{O}-\text{ClF}$ and 7 cm^{-1} for $\text{H}_2\text{O}-\text{F}_2$. For the latter complex, the zero-point energy level lies above the top of the barrier.